

. บทความวิจัย

การประชุมวิชาการเครือข่ายวิศวกรรมไฟฟ้างานไฟฟ้าและเทคโนโลยีในมหาวิทยาลัยราชภัฏในครั้งที่ 8

Proceedings of the 8th Conference of Electrical Engineering Network of Rajamangala University of Technology 2016 (EENET 2016)

ระบบการหาค่าการวางแผนด้วยไมโครคอนโทรลเลอร์แบบ 32 บิต

Simplify Attitude Determination System using Low-Cost IMU and 32bit Microcontroller

พิรัสตัน อภิพิตร์ดั้ง 'องอาจ พับนุรี' ผู้นำรัฐนี้ เอกอียน์ และ วีรชัย นาโลยเวช³

'กุญแจสาขาวิชาเทคโนโลยีในโลกวิศวกรรมไฟฟ้า คณะเทคโนโลยีในมหาวิทยาลัยราชภัฏเชียงใหม่ ในพระบรมราชูปถัมภ์'

1 หมู่ 20 ด.พหล โยธิน ต.คลองหมื่นเจด. อ.คลองหลวง จ.ปทุมธานี โทรศัพท์ 02-529-3829 E-mail: peerawat@vru.ac.th

²นักวิจัยอิสระ E-mail: panthuree.o.ekiam.kt@gmail.com

³ภาควิชาวิศวกรรมระบบวัสดุและแม่ค่าทรานซิสเตอร์ คณะวิศวกรรมศาสตร์ มหาวิทยาลัยเทคโนโลยีเชียงใหม่

140 ถ.เชื่อมสันพันธ์ แขวงกระหุ่มราช เขตหนองจอก กรุงเทพฯ 10530 โทรศัพท์ 02-9883655 คุ่ม 1113 E-mail: veeracha@vnu.ac.th

บทคัดย่อ

บทความนี้นำเสนอการนำเสนอไออยีเมิร์ฟาราค่าอุณหภูมิ รุ่น GY-86 ซึ่งประกอบด้วยเซ็นเซอร์ค่าความเร่งแบบ 3 แกน ค่าความเร็วเชิงมุม 3 แกน และค่าสมดุลแม่เหล็กโลก 3 แกน มาใช้ในการหาค่ามุมการวางแผนด้วยการคำนวณด้วยแบบอัตโนมัติ สำหรับการวางแผนด้วยไมโครคอนโทรลเลอร์ 32 บิต รุ่น STM32F4-discovery ซึ่งสามารถทำให้โปรแกรมได้รับไม่ต้องเขียนให้ติดภาษาซี แต่ใช้โปรแกรม MATLAB/Simulink ในการเขียนโค้ด และใช้ความสามารถของกล่องเครื่องมือที่เรียกว่า "Waijung" ใน การตัดกรองในไมโครคอนโทรลเลอร์ ผลลัพธ์สุดท้ายแสดงให้เห็นว่ารีซิการ์ที่นำเสนอสามารถดำเนินการประมวลผลการวางแผนด้วยอัตราเร็วๆ แต่ยังคงความแม่นยำและด้วยความสามารถค่าและหน่วยน้ำหนักที่มีการแปลงเป็นความเร็วสูง

คำสำคัญ: การหาค่าการวางแผนด้วยไมโครคอนโทรลเลอร์ MATLAB/Simulink

Abstract

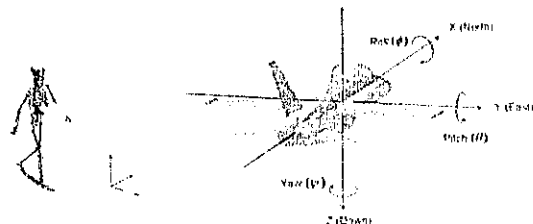
This paper presents the simplicity of Attitude Determination System (ADS) by using low-cost IMU named GY-86 which consist of 3-axes accelerometer, 3-axes gyroscope and 3-axes magnetometer. The sensor fusion algorithm implementation is comparing between proposed Nonlinear Complementary Filter and standard TRIAD Filter. The 32bit microcontroller board, STM32F4-discovery used as processing unit. The codeless scheme for microcontroller can be done by the performance of "Waijung" blockset and MATLAB/Simulink environment. The final results show that the proposed method applicable for attitude estimation as correctly and also has good tracking performance and withstand to the sensitivity of signal event in the presence of high changes in velocity.

Keywords: Attitude determination, IMU, Waijung, MATLAB/Simulink

1. บทนำ

ในทางปฏิบัติการหาค่าการวางแผนด้วย (Attitude) และการหมุน (Rotation) ของวัตถุรอบแกนอ้างอิงใดๆ ดังรูปที่ 1 จะใช้เซ็นเซอร์ (Sensor)

เรียกว่า ไออยีเมิร์ฟ (IMU: Inertial Measurement Unit) ซึ่งในตัวไออยีเมิร์ฟประกอบด้วยเซ็นเซอร์ที่ใช้วัดค่าความเร่ง ความเร็ว และแรงกระเพื่องรวมกับค่า ท่านแม่เหล็กโลก (Earth magnetic field) รวมเป็นในอุปกรณ์เดียวทันที ที่จะจาก ไออยีเมิร์ฟประกอบด้วยเซ็นเซอร์ชั้นนอกอย่างสอดคล้องและต่อเนื่องกัน (ตัววัดความเร็ว ตัววัดความเร่ง + ตัววัดสมดุลแม่เหล็ก) แต่ท้ายที่สุดแล้วสิ่งที่ต้องการทราบคือ บุญของการวางแผนด้วยวัดที่วัดเทียบกับแกนอ้างอิงหลักแต่ละแกน ตัวบัญชาภายนี้ ทำให้การนำไออยีเมิร์ฟไปใช้งานไม่ได้เรื่องง่ายเลย เพราะต้องรวม (Fusion) เองด้วยจากการเขียนโปรแกรมทั้งสอง/สามแบบเพื่อให้ความอ่อนมาเข้ากันได้ และนี่ ก็ถือเป็นปัญหาที่ทำให้ทางอ้างอิงที่จะหาวิธีการหรือเทคนิคต่างๆ ที่เหมาะสมในการวัดและประมาณค่า (Estimate) บุญการวางแผนด้วยแกนอุปกรณ์ประจำกันนี้



(ก) การเคลื่อนที่ของคน

และกรอบพิกัดอ้างอิง

(ข) การกำหนดแกนบุญเจ้าของอิง

เกี่ยวกับบุราบ

รูปที่ 1 ลักษณะและการเคลื่อนที่/การวางแผนด้วยแกนอุปกรณ์ และการกำหนด แกน (axes) และกรอบพิกัดอ้างอิง

บุญนี้เป็นที่รู้กันดีว่าตัวโครงสร้างตามนี้ (Kalman filter) เป็นตัวโครงสร้างตามนี้ที่ทำงานได้ถูกต้องและมีเสถียรภาพที่สูง แต่ตัวโครงสร้างตามนี้ก็มีข้อเสียตรงที่ต้องใช้รีพยากรในการคำนวณมาก เนื่องจากมีค่าคงที่ตัวโครงสร้างตามนี้ค่อนข้างซับซ้อน และเป็นลักษณะแบบแมร์กิซ์ ทำให้การสร้างตัวโครงสร้างตามนี้ต้องใช้เครื่องคำนวณที่มีประสิทธิภาพสูง แต่ในงานเฉพาะทาง บางประเภทที่ถูกจำกัดในเรื่องของขนาดและทรัพยากรในการประมวลผล นี่จะมาจากโครงสร้างของระบบอย่างไม่ให้ถูกจำกัด เช่น ในการเพิ่มทรงอุกกาศ (Cube satellite) ที่มีขนาดเพียง $10 \text{ cm} \times 10 \text{ cm} \times 10 \text{ cm}$ หรือ อากาศยานขนาดเล็ก (Micro Aerial Vehicles: MVA's) เป็นต้น การใช้ตัวกรองแบบอัตโนมัติที่ทำงานได้ดี คือเมื่อันกับตัวโครงสร้างตามนี้ แต่ใช้รีพยากรน้อยกว่าที่เป็นสิ่งหนึ่งที่ทำสิ่งที่เป็นที่กีดขวาง วิจัยและพัฒนา ใน [1] ได้นำเสนออัลกอริทึมการประมวลผลค่าการวางแผนด้วย

• บทความวิจัย

* การประชุมวิชาการเครือข่ายวิศวกรรมไฟฟ้างานมหาวิทยาลัยเทคโนโลยีโลหะร่วมกับ ครั้งที่ 8

Proceedings of the 8th Conference of Electrical Engineering Network of Rajamangala University of Technology 2016 (EENET 2016)

ແກ່ໄລມ່ທີ່ເຮັດວຽກວ່າ “ຈົດຊື້ອ (GDCA: Gradient Descent based Complementary Algorithm)” ແລະ “ອົບເປົວ (ECA: Explicit Complementary algorithm)” ປຶ້ງເປັນ
ຫຼິດຂອງຕົວກອງແນບອນຸການ (Particle filter) ເປົ້າຍັງທີ່ບັນດົວກອງຄາມນານ
ຖຸນຸ່ງໜ້າທີ່ພື້ນໃນເສັນອດຕົວກອງທີ່ສໍາມາດປະມານດໍາກາວຈຳວັນຈະຮະບປໄດ້
ອ່າງຍຸດທີ່ອຳນວຍຄວາມນໍາຫຼີດຕື່ມ ໂດຍໃຫ້ກ່ຽວໜ້າກອງໃນການສໍາເນົາໄປໆ ແລະ
ສາມາດຮັ້ງໄດ້ຈຳງັດໃນ [2] ໄດ້ໃນເສັນອດຕາກໍາດໍາກາວຈຳວັນຈຳວັນໄດ້ໃຫ້
ໄມໂຄຣຄອນໄໂທລເຄວີ່ PIC24FJ64GA002 ເປົ້າວັນຈະພົບເຫັນເຫຼົ່ອຮ່າງ
ສາມາເມື່ອທີ່ໂຄຣແລະເຫຼືອໝ່ວັນຈະອົບເປົວ (Solar sensor) ໂດຍເປົ້າຍັງເລືອດ
ຄາມຈຳລອງຈະວ່າງ ໄກຣແອດ(Triad) ຕົວ-ມທຣອດ(Q-METHOD) ແລະ ຕົວເອົດ
(QUEST) ພົບສຽງສຸດກໍາທັນວ່າລື່ມແມ່ດ້ວຍປະມານດໍາເນັບໄກຣແຄຈະທຳການຕາມ
ຄໍ້າ (Tracking) ໄດ້ເຮົວ ແດ້ກີ່ນີ້ຄວາມໄວ້ຕ່ອງສັງຄູງຮຽນກາມມາກຳທ່ານັກ ດັ່ງນັ້ນ [2]
ໄດ້ຈົດໃນການທີ່ນີ້ເລືອດຄົວເອົດ ເປົ້າບັດຈິງຮັ້ນທີ່ເນັມະສານໃນກາຮັວງຫັ້ງ
ໃນໄກຣຄອນໄໂທລເຄວີ່ໄດ້ເຖິງຈາກໃຫ້ກ່ຽວກັບຕາມຄໍ້າທີ່ ນັ້ນຕ້ອງສັງຄູງເຫັນກວ່າ
ໄດ້ຕົກກວ່າບັດຈິງຮັ້ນທີ່ນີ້ ທີ່ກີ່ນີ້ມາ

บทความวิจัยนี้จะนำเสนอให้ตัวกรองเบนตอนที่มีเก่าเรียนแบบไม่เป็นเชิงลึก ที่เก่าสอนโดย [3] เพื่อหากำเนิดความต้องการของเด็กประถมศัลศึกษาในโครงการฯ ประกอบด้วยเครื่องเรียนมือ “ไวรัส” และสภาพแวดล้อมของเยี่ยมชมเพื่อศึกษาภูมิปัญญาในการพัฒนาไปรษณียะและดักการกันน้ำของรัฐ ในโครงการฯ ในเว็บข้อที่ 2 ต่อจากนี้จะกล่าวถึงที่มาที่น้ำประกอนด่างๆ ของระบบ หัวข้อที่ 3 จะกล่าวถึงตัวกรองเบนตอนที่มีเก่าเรียนแบบไม่เป็นเชิงลึก ที่มีผลการทดลอง และหัวข้อที่ 5 กล่าวถึงบทสรุป

2. ตัวนประกอบของระบบ

ส่วนประกอบหลักของระบบมีอีก 4 ส่วน ดังนี้เดาในไปร์ที่ 2 ซึ่ง
ประกอบด้วย 1) บอร์ดประมวลผลแบบเป็นไมโครคอนโซล STM32F4-discovery 2) ໄໂໄມເໝັນຍູແບນ WiFi GY-86 3) ໂໄຮແກຣມ
MATLAB/Simulink และຄລ່ອງເຕືອງເນື້ອໄວຈິງ (Wavjung) สำ້າເວັນດາໄປໄຮແກຣມ
ແລະ ໄກສີຄົງ (Coding) ແລະ 4) ส່ວນຂອງການເຕືອນຄຸນແລະແສດຖາພາຂອ້ານຸດ

ของอยเลอร์ (Euler's angle) และควอเตอร์เนียน (Quaternion) ซึ่งแต่ละวิธีก็มีวิธีการซึ้งที่แตกต่างกันไป ดังนี้

- มนต์อยล์เลอร์ (Roll, ϕ) - พิก (Pitch, θ) - บิว (Yaw, ψ) ใช้
บอกว่าดูน้ำหน้ามุมเท่าไรกับแกนอ้างอิงหลัก X-Y-Z และชี้ถูกใช้มีนาคม
หารามีเดอร์ทั้งสองแบบวิธีการหมุน (Rotation matrix, R) เพื่อใช้ห้องน้ำในการ
หมุนจาก (กรอบพิกัด หรือเฟรม) a ไป b เมื่อดังต่อไปนี้

$$R_b^a = R_{x,y,z}(\psi, \theta, \phi) = R_z(\psi)R_y(\theta)R_x(\phi) \quad (1)$$

ผลลัพธ์สุดท้ายของเมทริกซ์การหมุน เป็นดังนี้

$$R_{x,y,z}(\psi, \theta, \phi) = \begin{bmatrix} c\psi c\theta & c\psi s\theta s\phi - s\psi c\phi & c\psi c\phi s\theta + s\psi s\phi \\ s\psi c\theta & s\psi s\theta s\phi + c\psi c\phi & s\psi s\theta c\phi - c\psi s\phi \\ -s\theta & c\theta s\phi & c\theta c\phi \end{bmatrix} \quad (2)$$

เมื่อ $s(\cdot)$ และ $c(\cdot)$ เป็นค่าเชิงของตรีโกณมิติชาน ($\sin(\cdot)$) และโคไซน์ ($\cos(\cdot)$) คำน้ำดัน การอธิบายด้วยมุมของขอบเขตหรือเป็นสี่เหลี่ยมนูนหักข้าไวและถี่นักอย่างที่สุด แต่จะมีปัญหาเชิงถูกたりตี้ (Singularity) ในการคำนวณ (ไม่สามารถคำนวณหาหมายกริกอร์เดกันได้) ในกรณีที่มุม θ มีขนาด $\pm (\pi/2)$

- ความเดอร์เนียน, $q = [\eta \quad \varepsilon_1 \quad \varepsilon_2 \quad \varepsilon_3]$ เป็นวิธีการห้ามที่นำมาใช้เพื่อเลิกดึงการเกิดชิงถูการ์ดจากการใช้มุมของเดอร์ในการคำนวณ ประกอบด้วยพาร์มิเตอร์ศักดิ์สิทธิ์ใช้แลงบุกทราบมุน ด้วยรอกที่มีเจ้าวนธรรมจริง $\eta := \cos(\theta/2)$ และอีกสามค่าที่เหลือเป็นส่วนของจินดภาร (imaginary).

$\varepsilon = [\varepsilon_1 \ \varepsilon_2 \ \varepsilon_3]^T = \lambda \sin(\theta/2)$ โดยที่ $\lambda = [\lambda_1 \ \lambda_2 \ \lambda_3]^T$ คือ
ໄວເຕາວເກຕອຣ (Eigenvector) ເນື່ງໜ້າວຍໄດ້ ໃນການໃຊ້ກວດເຄອຮົງເນີນທີ່ອງ
ຮັກຍາໄທກວດເຄອຮົງເນີນນີ້ກ່າວນີ້ນໍ້າວຍ ດາມເຈື່ອນໃຫ
 $q^T q = \eta^2 + \varepsilon_1^2 + \varepsilon_2^2 + \varepsilon_3^2 = 1$

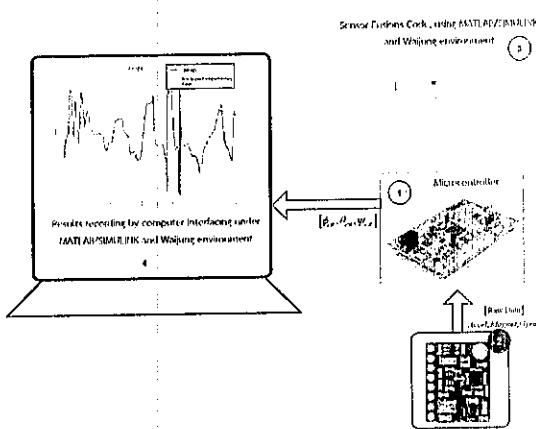
การกำหนดถ่วงด้วยน้ำหนักความนิ่วใช้วิถีเดอร์เพื่อให้และแสดงผลโดยใช้ชั้นน้อมอยเดอร์

4. อัลกอริทึมการหาค่าการวางแผนตัว (Attitude Determination Algorithm)

ที่การประเมินเก็บผลลัพธ์ชี้ของลักษณะหรือทีมด้วยกรองค่อนหลีเมน้ำที่ร่วมกันที่แบบไม่เป็นเพียงส่วน กับอักษรทีม ได้รับผล และ กรณีการสรุปของไดรเวอร์จะช่วยอย่างมากไม่กล่าวเสียงเดียวจากเป็นขั้นตอนวิธีการที่ใช้กับนานาชาติทั้งงานทางอาชญาคและวิชาชีพ

- “ไตรแอด (TRIAD) อัลกอริทึมถูกนำไปใช้ในเครือข่ายโดย ชาโรลด์ แบลค (Harold Black) ในปี พ.ศ. 2507 เป็นที่นิยมใช้ในการประมวลผลตัวการห้องตัวของความเที่ยง เมื่อจากนักความจำง่าย การสร้างแม่พิมพ์กระดาษบนสามารถสร้างได้โดยตรงจากคำาเร้าที่พูดของเขียนเชื่อในรูปแบบของวงเดือน 2 เวลาเดอร์ที่ถังจากก้าว (Onthologonal) แต่เมื่อจากที่มีคนคิดค้นอัลกอริทึมที่มีความสามารถสูงกว่า ไตรแอดก็จะดูทบทวน

- គោគទំនាក់ទំនងការរំលែកដែលមិនមែនការរំលែកប៉ុណ្ណោះទេ (Nonlinear Complementary Filter) និងវានៅត្រូវបានគោគទំនាក់ទំនងមាត្រាអីឡិន (Mahony Filter) ដែលសម្រេចការពិនិត្យការរំលែក។



รูปที่ 2 ระบบงานการนำเสนอการวางแผนตัวที่สำเร็จ

3. การอธิบายการวางแผน (Attitude Representations)

การคำนวณหรืออนุรักษ์การวางตัวของวัสดุแข็ง เช่น เก้าอี้ (Rigid body) ในปริภูมิสามมิติ (3 dimensional space) จะนิยมแทนว่าเป็นรูปทรงที่มีน้ำหนัก

บทความวิจัย

การประชุมวิชาการเครือข่ายวิศวกรรมไฟฟ้ามหาวิทยาลัยราชภัฏในโลหะรัฐมังคล ครั้งที่ 8

Proceedings of the 8th Conference of Electrical Engineering Network of Rajamangala University of Technology 2016 (EENET 2016)

พ.ศ.2551 ซึ่งโดยทั่วไปการแล้ววิธีนี้สามารถประยุกต์ใช้กับไอล์มูราภาอุตสาหกรรมที่มี ประมวลผลค่าการวางแผนได้เป็นอย่างดี โดยปกติแล้วจะใช้กับอุตสาหกรรมขนาดใหญ่ และเป็นอัลกอริทึมหนึ่งในมืออาชีพที่ถูกนำมาใช้รับการพิสูจน์และทดสอบ

$$\omega_{\text{acc}}^b = -\nu \text{ex} \left(\sum_{i=1}^n \frac{k_i}{2} \left(v_i^b (\hat{v}_i^b)^T - \hat{v}_i^b (v_i^b)^T \right) \right) \quad (5)$$

$$\dot{\hat{b}}_{\text{gyro}}^b = -\frac{1}{2} K_p \omega_{\text{acc}}^b \quad (6)$$

$$\dot{\hat{q}} = T_q(\hat{q}) \left[\omega_{\text{acc}}^b - \dot{\hat{b}}_{\text{gyro}}^b + K_p \omega_{\text{acc}}^b \right] \quad (7)$$

โดยที่ฟังก์ชัน $\text{vex}(\cdot)$ เป็นตัวดำเนินการคูณของค่าอุตสาหกรรม (Inverse cross product operator) เมื่อ $\text{vex}(S(a)) = a$

- v_i^b คือ ค่าทางเข็มชอร์ต เมื่อ $i = 1, 2$ ในที่นี้คือค่าของตัววัดความเร่ง และตัววัดสถานะเมื่อเทียบ ตามลำดับ

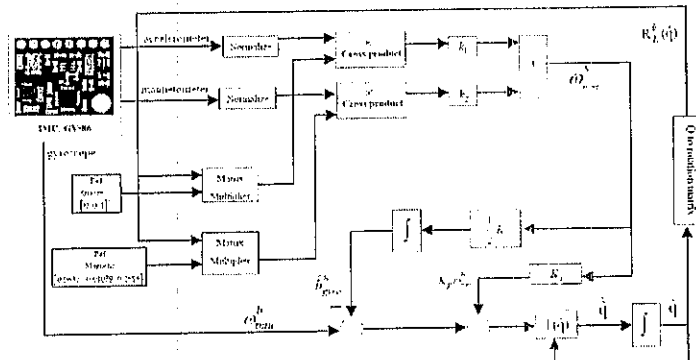
- \hat{v}_i^b คือ ค่าประมาณ (Estimate) ของตัววัดความเร่ง และตัววัดสถานะเมื่อเทียบ กับค่าจริง ที่พอดารบค่า เมื่อ $\hat{v}_1^b = R_E^b v_{01}^E$ และ $\hat{v}_2^b = R_E^b v_{02}^E$ โดยที่

$$v_{01}^E = [0 \ 0 \ 1]^T, \quad v_{02}^E = [0.9632 \ -0.01039 \ 0.2686]^T$$

- k_1, k_2, K_p และ K_q เป็นอัตราขยายของตัวสังเกตุ (Observer gain)
- $T_q(\hat{q})$ เป็นการจัดรูปเพื่อเปลี่ยนค่ากowitz เดอร์เป็น \hat{q} ที่มีค่าปั่นผวนไป เป็นค่าความเร็วเชิงมุม $\dot{\hat{q}}$ [4]

5. การสร้างอัลกอริทึมนวนในโคดคอนโทรลเลอร์ 32บิต

จากสมการที่ (5) ถึง (7) สามารถนำไปปิ๊กชิป ໄโอเด็มและไปร์แกรนท์ซอฟต์แวร์ MATLAB/SIMULINK และสภาพแวดล้อมของໄว์จังได้ดังรูปที่ 3



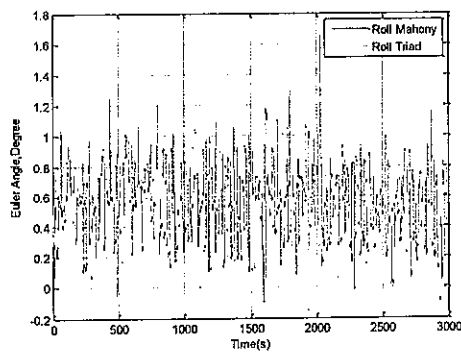
รูปที่ 3 อัลกอริทึมค่าวัดของกล้องหลังภาพที่มีแบบไม่เป็นต่อเนื่อง

การทำงานของนิ่องตือก็ได้อะแกรนรูปที่ 3 จะเริ่มจากค่าประมวลผลของกowitz เดอร์เป็น \hat{q} ด้วยสิ่งที่เรียกว่า $\text{vex}(\cdot)$ เพื่อกำหนดเรียนรู้ที่มีกับค่าความเร็วและค่าสถานะเมื่อเทียบ โลกที่วัดได้จากไอล์มูราภาที่เข้ามาที่การวางแผนตัววัดต่างๆ โดยที่ใช้ \hat{q} สำหรับการคำนวณที่เปลี่ยนตัวของจักรกลของหุ่นยนต์โลกไปปั้นง่วงบนที่กัดคำตัว ($R_E^b(\hat{q})$) ส่วนค่า ω_{acc}^b ที่ได้จากการทำอัลกอริทึม $\text{vex}(\cdot)$ จะใช้ในการปรับ

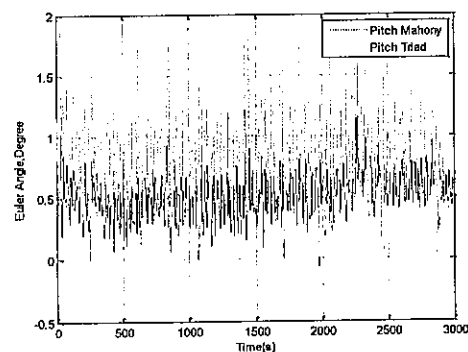
ค่าความเร็วเชิงมุมที่ได้จากไอล์มูราภา (ω_{acc}^b) โดยส่วนแรกจะเป็นอัตราขยายแบบที่ (K_p) และส่วนที่สองจะเป็นอัตราขยายแบบที่ ($-K_p$) เพื่อใช้ประมวลผลในเอกสารของไอล์มูราภา ซึ่งโดยภาพรวมแล้ววิธีการที่กล่าวมา ถือเป็นการปรับหารานิเคนทร์ของค่าวัฒนธรรมที่ใช้ในการประมวลผลค่าความเร็วคงที่ และขั้นตอนสุดท้ายที่จะเป็นการคำนวณหาค่าการประมวลผลตัววัดแบบเดอร์เนินตามสมการที่ (7)

6. ผลลัพธ์

การทดสอบการทำงานและประสิทธิภาพของระบบการหาค่าการวางแผนที่นำเสนอนี้ จะแสดงให้เห็น 2 แบบ คือ (1) เมื่อจับเวลา ไอล์มูราภาในแนวราบนานนานกับพื้นโลกไว้ในร่องๆ โดยคาดหวังว่าค่ามุมการวางแผน ไอล์มูราภา ในแต่ละแกนจะมีค่าประมาณคูณของค่า (2) ติดตั้งไอล์มูราภาบนแพลตฟอร์มและทดสอบด้วยรูปที่ 8 ดังต่อไปนี้



รูปที่ 4 คุณภาพวางแผนตัววัดบนแพลตฟอร์มในกระบวนการทดสอบแบบที่ (1)



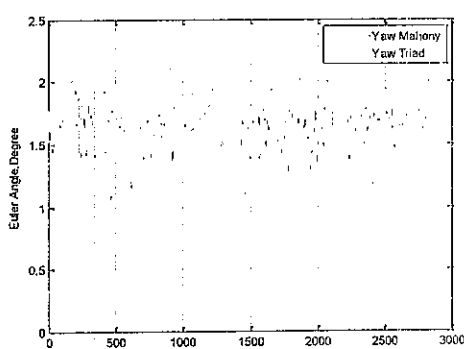
รูปที่ 5 คุณภาพวางแผนตัววัดบนแพลตฟอร์มในกระบวนการทดสอบแบบที่ (1)

พิจารณาผลการทำงานของตัวกรองในรูปที่ 4 ถึง 8 จะพบว่าระบบ ตามอัลกอริทึมด้วยตัววัดตัวของคอมพิวเตอร์เรียบนำไปนับเป็น เสียงเด่นที่ไม่เสื่อ สามารถตรวจสอบได้แม่นยำที่สูงเมื่อเทียบกับตัวกรองของมาตรฐานแบบ 'ไตรแอด' และบังทันค่าสัญญาณรุ่นความเร็วของการเคลื่อนที่ที่มีการเปลี่ยนแปลง ความเร็วสูง เช่นสถานะเดินเริ่มต้น และดอนที่แขวนกอกหุ่นกระโดด ที่ดัง แสดงในรูปที่ 7 และ 8

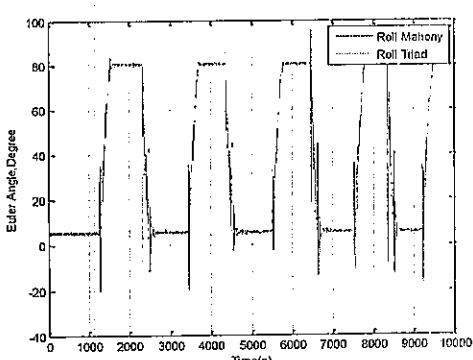
บทความวิจัย

การประชุมวิชาการเครือข่ายวิศวกรรมไฟฟ้ามหาวิทยาลัยราชภัฏเทคโนโลยีราชมงคล ครั้งที่ 8

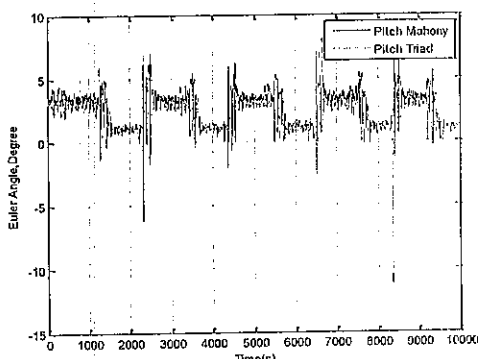
Proceedings of the 8th Conference of Electrical Engineering Network of Rajamangala University of Technology 2016 (EENET 2016)



รูปที่ 6 บันทึกการวัดตัวรอบแกนของ ไฟฟ้าหอดทดสอบแบบที่ (1)



รูปที่ 7 เมื่อเทียบเทียบบันทึกรอบของความตัวในการทดสอบแบบที่ (2)



รูปที่ 8 เมื่อเทียบบันทึกรอบของความตัวในการทดสอบแบบที่ (2)

7. สรุป

บทความนี้ได้นำเอาตัวทดสอบคอมพิวเตอร์แบบไม่เป็นเวลาซึ่งสำหรับที่น้ำเสียงโดย [3] nanoplug ที่ใช้ในการหาค่าการวางแผนตัว โดยประมวลผลด้วยชิปในโทรศัพท์มือถือ STM32F4D7 ตัวแทนไปรับรวมโดยใช้ MATLAB/Simulink ในการเขียนโค้ด และใช้ก่อต่องเครื่องเรืองนิลไว้จัง ในการจัดการกับไฟโทรศัพท์มือถือ ผลการทดสอบการท่องเที่ยวแบบที่ได้อ่านเมื่อก่อนแล้ว

ผลลัพธ์ที่แบบสถาปัตย์ (Static) และแบบไนโตรเจน (Dynamic) ซึ่งตัวของที่น้ำเสียงสามารถใช้กับระบบที่มีช่องทางเดียวในเรื่องของการประมวลผลให้มีประสิทธิภาพสูงกว่า ลดเวลาและเพิ่มความแม่นยำของไฟฟ้าหอดที่ต้องการที่ต้องการแบบที่น้ำเสียงนี้ หรือเมื่อเทียบกับแบบที่ต้องการแบบที่น้ำเสียง

8. กิตติกรรมประกาศ

ขอขอบคุณสำนักงานพัฒนาเทคโนโลยีอิเล็กทรอนิกส์และสื่อสารแห่งประเทศไทย (GISTDA) ที่ให้โอกาสและสนับสนุนการที่วิจัย

เอกสารอ้างอิง

- [1] Dung Duong Quoc, Jinwei Sun et al., Sensor Fusion based on Complementary Algorithms using MEMS IMU, International Journal of Signal Processing, Image Processing and Pattern Recognition, Vol. 8, No. 2 (2015), pp. 313-324.
- [2] Ricardo O. Duarte, Luiz S. Martins-Filho et al., PERFORMANCE COMPARISON OF ATTITUDE DETERMINATION ALGORITHMS DEVELOPED TO RUN IN A MICROPROCESSOR ENVIRONMENT, Proceedings of COBEM 2009.
- [3] Robert Mahony, Tarek Hamel et al., Complementary filter design on the special orthogonal group, 44th IEEE Conference on Decision and Control, and the European Control Conference 2005.
- [4] Fredrik Alvenes, Attitude Controller-Observer Design for the NTNU Test Satellite, Master Thesis, 2013.



วิรชัย มาดယาช สำเร็จการศึกษาระดับปริญญาตรี วิศวกรรมไฟฟ้า สถาบันเทคโนโลยีราชมงคล วิศวกรรมไฟฟ้า สาขาวิชาพลังงาน เกียรตินิยมอันดับหนึ่ง ปริญญาโทและเอก จาก UNSW มีความสนใจด้าน HDD Servo Systems, Robust Control and Filtering, Robotic



พิริวนัน พากิศรัตน์ สำเร็จการศึกษาระดับปริญญาตรี (ระบบวัสดุ) และไฟฟ้า สาขาวิชาพลังงาน มหาวิทยาลัยเทคโนโลยีราชมงคล วิศวกรรมไฟฟ้า สาขาวิชาพลังงาน มีความสนใจด้านระบบการควบคุมแบบอัตโนมัติ



คงอาจ พันธุ์รุ่ง สำเร็จการศึกษาระดับปริญญาตรี (ก.อ.บ.) สาขาวิศวกรรมไฟฟ้า มหาวิทยาลัยเทคโนโลยีราชมงคล วิศวกรรมไฟฟ้า และปริญญาโท (วศ.ม.) สาขาวิศวกรรมไฟฟ้า มหาวิทยาลัยเชียงใหม่



กันยาธาร์ดา เอกอัจฉริยะ สำเร็จการศึกษาระดับปริญญาตรี (ก.อ.บ.) สาขาวิศวกรรมไฟฟ้า มหาวิทยาลัยเทคโนโลยีราชมงคล วิศวกรรมไฟฟ้า และปริญญาโท (วศ.ม.) สาขาวิศวกรรมไฟฟ้า มหาวิทยาลัยเชียงใหม่